

УДК 622.015.002

А.А. Грабский

АНАЛИЗ ПАРАМЕТРОВ ТЕХНОЛОГИЧЕСКОГО НАГРУЖЕНИЯ ОСНОВНЫХ МЕХАНИЗМОВ КАРЬЕРНОГО КОМБАЙНА ЗА ЦИКЛ ЕГО РАБОТЫ

Выполнен анализ технологического нагружения основных механизмов карьерного комбайна за цикл его работы, рассчитана относительная энергоемкость работы карьерного комбайна в режимах: «вывемка слоя породы»; «поворот (разворот)»; «смена карьерного поля».

Ключевые слова: технологическое нагружение, карьерный комбайн, основные механизмы комбайна, энергоемкость.

Семинар № 22

Известно, что при отработке породного блока (рис. 1) карьерный комбайн выполняет вспомогательные операции: врезку, повороты и развороты с длительностью цикла - T_u составляющего:

$$T_u = \frac{3,6^{-1} \cdot 10^{-3}}{\frac{W}{L_{\Pi}}} \left(1 + \frac{R_{\Pi B} \varphi_{\Pi B}}{L_{\Pi}} \cdot \frac{W}{W_{\Pi B}} \right), \text{ ч} \quad (1)$$

где $R_{\Pi B}$ - радиус поворота (разворота), м; $\varphi_{\Pi B}$ - угол поворота (разворота), рад; L_{Π} - длина полосы (продольной или поперечной см. рис. 2), м;

В свою очередь, коэффициент забоя - K_3 характеризующий потери длительности цикла на вспомогательные операции и представляющий собой отношение длительности фрезерования слоя породы к длительности цикла:

$$K_3 = \frac{1}{1 + \frac{R_{\Pi B} \varphi_{\Pi B}}{L_{\Pi}} \cdot \frac{W}{W_{\Pi B}}} \quad (2)$$

При разработке продольного пласта, Джерой–Сардаринского месторождения фосфоритов длиной $L_{\Pi B}=500$ м, (см. рис. 1) карьерный комбайн MTS 250 осуществляет поворот (разворот) на угле $\varphi_{\Pi B} = \pi$ радиан радиусом в $R_{\Pi B} = 7,8$ м.

Потребная суммарная мощность ДВС силовой установки карьерного комбайна в режиме «вывемка слоя породы» составит:

$$N_1 = \xi \frac{BhW}{\eta} \left\{ \frac{\sigma}{\varphi_0} \left[\frac{1+f\Psi}{\eta_{\text{ум}}} + (1+f_k) \lambda(\varphi_0, \Psi) \frac{\theta}{\eta_{\text{ум}}} \right] + 4n_k \gamma k_{nk} \frac{\omega'}{\eta_{\text{ум}}} L \right\}, \text{ Вт}, \quad (3)$$

где θ – безразмерный коэффициент, представляющей собой отношение скорости передвижения карьерного комбайна к скорости резания породы его шнеко-фрезерным рабочим органом:

$$\theta = \frac{2W}{\omega D}. \quad (4)$$

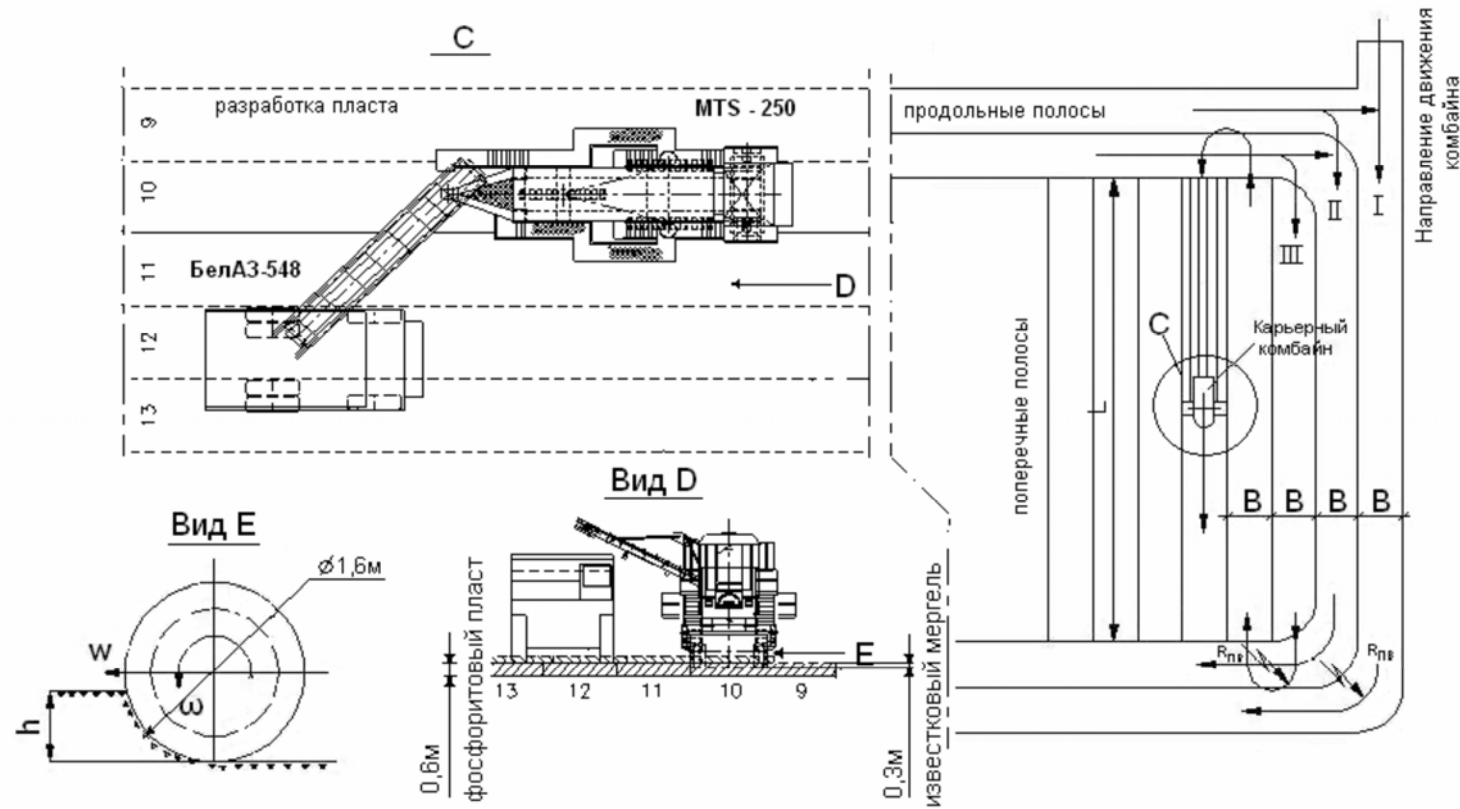


Рис. 1. Принципиальная схема отработки пласта поперечными и продольными полосами карьерным комбайном MTS 250 фирмы "MAN TAKRAF" (фосфоритовое Джерой-Сарларинское месторождение. Республика Узбекистан)



Рис. 2. Карьерный комбайн MTS 250 на разработке продольного пласта Джерой - Сардаринского месторождения фосфоритов

Поскольку карьерный комбайн работает с возможностью одновременного бесступенчатого регулирования скоростей вращения шнека - ω и его подачи - W (скорости движения комбайна), то машинист-оператор при выемке слоя породы различной высоты - h для поддержания максимальной толщины стружки в вертикальной плоскости (но не превышающей 80% вылета резца шнека), практически выдерживает постоянным безразмерное соотношение:

$$\theta = \text{const} . \quad (5)$$

Для карьерного комбайна MTS 250 $\theta = 56,3 \cdot 10^{-3}$

При варьируемых параметрах: $B_{\min} \leq B \leq [B]$; $h_{\min} \leq h \leq h_{\max}$; $W_{\min} \leq W \leq W_{\max}$; $\sigma_{\min} \leq \sigma \leq \sigma_{\max}$; $\varphi_{0\min} \leq \varphi_0 \leq \varphi_{0\max}$; $f_{\min} \leq f \leq f_{\max}$; $\Psi_{\max} \leq \Psi \leq \Psi_{\min}$.

Потребная суммарная мощность ДВС силовой установки карьерного комбайна в режиме «поворот (разворот)» составит [1]:

$$N_2 = \xi \frac{BhW}{\eta} \frac{W_{IB}}{W} \left[G \frac{0.5 + f_k}{Bh\eta_{xm}} + 3n_k \gamma L \frac{\omega'}{\eta_{km}} \left(\frac{W_{IB}}{W} \right)^{-1} \right], \text{ Вт.} \quad (6)$$

при постоянных параметрах: $B = [B]$; $h = h_{\max}$; $W = W_{\max}$;

при варьируемом параметре: $0 \leq W_{IB} \leq W_{IB\max}$.

Потребная суммарная мощность ДВС силовой установки карьерного комбайна в режиме «смена карьерного поля» составит [1]:

$$N_3 = \xi \frac{BhW}{\eta} (0.5 + f_k) \frac{G}{Bh\eta_{xm}} \frac{W_{IB}}{W}, \text{ Вт.} \quad (7)$$

При постоянных параметрах: $B = [B]$; $h = h_{\max}$; $W = W_{\max}$;
при варьируемом параметре: $0 \leq W_{\text{ПВ}} \leq W_{\text{ПВmax}}$.

где ξ – коэффициент увеличения потребной мощности ДВС за счет практически постоянной работы вспомогательных механизмов и электрогидро - аппаратуры управления и защиты. Величина $\xi = 1,05 \div 1,07$ [2]; $\eta_{\text{шм}}$, $\eta_{\text{хм}}$, $\eta_{\text{км}}$ – механический КПД приводов вращения шнека, ходового механизма и конвейера карьерного комбайна, соответственно; η – КПД РК гидрообъемной силовой установки карьерного комбайна.

Далее, поделив уравнения (3), (6) и (7) на величину секундной теоретической производительности карьерного комбайна получим удельную работу (энергоемкость) - H_{W_i} для i – того режима работы карьерного комбайна.

Энергоемкость карьерного комбайна при работе в режиме «**выемка слоя породы**» составит:

$$H_{W_1} = \frac{\xi}{\eta} \left\{ \frac{\sigma}{\varphi_0} \left[\frac{1+f\Psi}{\eta_{\text{шм}}} + (1+f_k) \lambda(\varphi_0, \Psi) \frac{\theta}{\eta_{\text{хм}}} \right] + 4n_k \gamma k_{nk} \frac{\omega'}{\eta_{\text{км}}} L \right\}, \text{ H/m}^2. \quad (8)$$

При варьируемых параметрах: $\sigma_{\min} \leq \sigma \leq \sigma_{\max}$; $\Psi_{\max} \leq \Psi \leq \Psi_{\min}$; $\varphi_{0\min} \leq \varphi_0 \leq \varphi_{0\max}$.

Энергоемкость карьерного комбайна при работе в режиме «**поворот (разворот)**» составит:

$$H_{W_2} = \frac{\xi}{\eta} \frac{W_{\text{ПВ}}}{W} \left[G \frac{0.5 + f_k}{Bh\eta_{\text{хм}}} + 3n_k \gamma L \frac{\omega'}{\eta_{\text{км}}} \left(\frac{W_{\text{ПВ}}}{W} \right)^{-1} \right], \text{ H/m}^2. \quad (9)$$

При постоянных параметрах: $W = W_{\max}$; $B = [B]$; $h = h_{\max}$;
и при варьируемом параметре: $0 \leq W_{\text{ПВ}} \leq W_{\text{ПВmax}}$.

Следует отметить, что при $W_{\text{ПВ}}/W = 0$ выражение (9) принимает вид:

$$H_{W_2} = \frac{\xi}{\eta} \frac{\omega'}{\eta_{\text{км}}} 3n_k \gamma L, \text{ H/m}^2, \quad (10)$$

и характеризует уровень энергоемкости работы транспортной системы карьерного комбайна на холостом ходу.

Энергоемкость карьерного комбайна при работе в режиме «**смена карьерного поля**» составит:

$$H_{W_3} = \frac{\xi}{\eta} (0.5 + f_k) \frac{G}{Bh\eta_{\text{хм}}} \frac{W_{\text{ПВ}}}{W}, \text{ H/m}^2. \quad (11)$$

При постоянных параметрах: $W = W_{\max}$; $B = [B]$; $h = h_{\max}$;
и при варьируемом параметре: $0 \leq W_{\text{ПВ}} \leq W_{\text{ПВmax}}$.

На рис. 3 приведены относительные значения энергоемкости работы карьерного комбайна MTS 250 в режимах:

- «выемка слоя породы» при: $\xi = 1,06$; $f_k = 0,045$; $f = 0,55$; $\gamma = 2,09 \cdot 10^4 \text{ H/m}^3$; $k_{nk} = 1,25$; $\omega' = 0,2$; $L = 12 \text{ м}$; $n_k = 2$; $\eta_{\text{шм}} = \eta_{\text{хм}} = \eta_{\text{км}} = 0,89$; $\theta = 56,3 \cdot 10^{-3}$; $\eta = 0,9$, для $\sigma = 25 \cdot 10^6 \text{ Па}$ ($\Psi = 0,6$) и для $\sigma = 50 \cdot 10^6 \text{ Па}$ ($\Psi = 0,3$). При этом угол контакта витка шнека со слоем фрезеруемой породы составит для $h_{\min} = 0,1 \text{ м}$, $\varphi_{0\min} = 0,505$, а для $h_{\max} = 0,65 \text{ м}$, $\varphi_{0\max} = 1,382 \text{ рад}$. Безразмерные функционалы, в этом случае примут значения $\lambda(h=0,1, \Psi=0,6)=0,745$ и $\lambda(h=0,65, \Psi=0,3)=0,366$ (рис. 3, a);

- «поворот (разворот)» (рис. 3, б); «смена карьерного поля», в зависимости от отношения - $W_{\text{ПВ}}/W$ средней скорости маневрирования к скорости его движения (рис. 3, в)

Анализ зависимостей, приведенных на рис. 3, свидетельствует, что:

- максимальная энергоемкость ($H_{W1\max}=100\%$) работы карьерного комбайна при выемке слоя породы, при всех прочих равных условиях, независимо от величины отношения - W_{PB}/W средней скорости маневрирования к скорости его движения, определяется только максимальной прочностью породы – \square и минимальной высотой слоя – h ;
- при повороте (развороте) карьерного комбайна относительная энергоемкость его работы – $H_{W2}/H_{W1\max}$ имеет минимальное значение. Которое по величине равно относительной энергоемкости работы транспортной системы на холостом ходу ($H_{W2\min}/H_{W1\max} = H_{Wk2}/H_{W1\max} = 0,25\%$) и возрастает прямо пропорционально величине отношения - W_{PB}/W средней скорости маневрирования к скорости движения комбайна и составляет при $W_{PB}/W = 10,928$, $H_{W2\max}/H_{W1\max} = 2,5\%$;
- при переезде с одного карьерного поля на другое относительная энергоемкость работы карьерного комбайна ($H_{W3}/H_{W1\max}$) возрастает от нуля прямо пропорционально отношению средней скорости маневрирования к скорости движения комбайна (W_{PB}/W) и при $W_{PB}/W = 10,928$ составляет $2,256\%$;
- обоснование и выбор параметров системы «гидробак-охладитель» гидрообъемной силовой установки следует производить только для режима «выемка слоя породы» минимальной высоты ($h = h_{\min}$) при ее максимальной прочности ($\sigma = \sigma_{\max}$), поскольку этот режим является самым энергоемким режимом работы карьерного комбайна;

Для этого, установим зависимость КПД РК гидрообъемной силовой установки карьерного комбайна от температуры окружающей среды - t_0^0 , которая после соответствующих алгебраических преобразований имеет вид [1]:

$$\eta = \frac{1}{1 + \frac{\rho c_1 \Delta t^0}{\Delta P_h}}, \quad (12)$$

здесь ρc_1 – произведение констант РЖ, Дж/м³град; Δt^0 – температурный перепад РЖ между входом и выходом из силовой установки карьерного комбайна, град.

Как показывают выполненные в работе [3] исследования, произведение констант РЖ - ρc_1 составляет величину равную $1.554 \cdot 10^6$ Дж/м³град. В свою очередь, максимальной установившейся температурой для гидрообъемной трансмиссии современного привода считается температура не выше 70^0C [4], а оптимальной температура 50^0C [3,4] в заданном температурном диапазоне окружающей среды.

Допустимый температурный перепад РЖ - Δt^0 между входом и выходом из гидросистемы силовой установки при номинальном перепаде давления – ΔP_h в диапазоне температур эксплуатации $t_{\min}^0 \leq t_0^0 \leq t_{\max}^0$ карьерного комбайна определяется как:

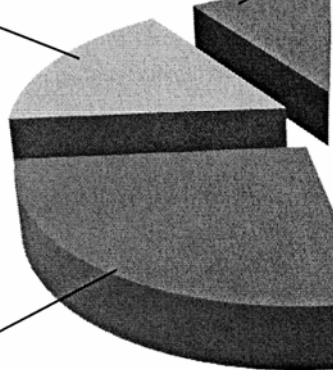
$$\Delta t^0 = [t_B^0] - t_0^0, \text{ град}, \quad (13)$$

где $[t_B^0]$ – допустимая температура РЖ на выходе из РК силовой установки карьерного комбайна, град, $[t_B^0] = 70^0\text{C}$.

$$a \quad H_{W1} = \frac{\xi}{\eta} \left\{ \frac{\sigma}{\varphi_0} \left[\frac{1+f\Psi}{\eta_{xm}} + (1+f_k)\lambda(\varphi_0, \Psi) \frac{\theta}{\eta_{xm}} \right] + 4n_k \gamma k_{nk} \frac{\omega'}{\eta_{km}} L \right\}$$

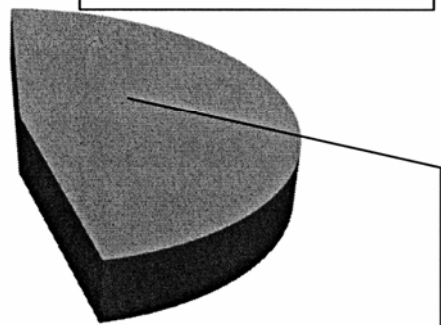
Относительная энергоемкость при:

$$\frac{H_{W1}(h=h_{\max}; \sigma=\sigma_{\max})}{H_{W1\max}(h=h_{\min}; \sigma=\sigma_{\max})} \rightarrow 36\%$$



Относительная энергоемкость при:

$$\frac{H_{W1}(h=h_{\min}; \sigma=\sigma_{\min})}{H_{W1\max}(h=h_{\min}; \sigma=\sigma_{\max})} \rightarrow 21\%$$



Относительная энергоемкость при:

$$\frac{H_{W1}(h=h_{\min}; \sigma=\sigma_{\min})}{H_{W1\max}(h=h_{\min}; \sigma=\sigma_{\max})} \rightarrow 58\%$$

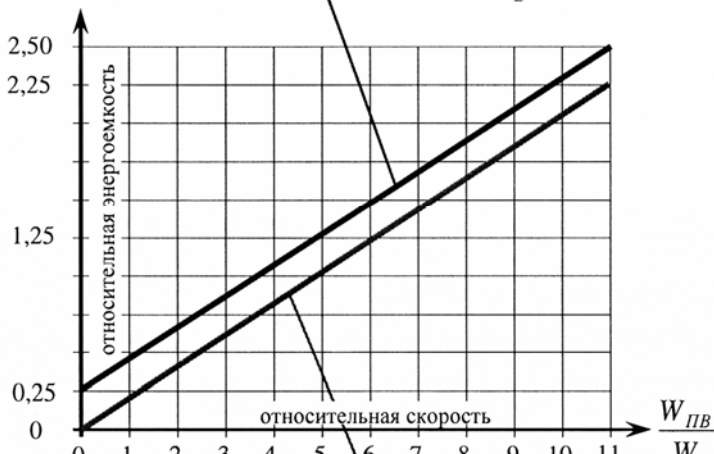
Относительная энергоемкость при:

$$H_{W1\max}(h=h_{\min}; \sigma=\sigma_{\max}) \rightarrow 100\%$$

$$\frac{H_{W2}}{H_{W1\max}}, \% ; \quad \frac{H_{W3}}{H_{W1\max}}, \%$$

б

$$H_{W2} = \frac{\xi}{\eta} \frac{W_{PB}}{W} \left[G \frac{0.5 + f_k}{Bh \eta_{xm}} + 3n_k \gamma L \frac{\omega'}{\eta_{km}} \left(\frac{W_{PB}}{W} \right)^{-1} \right]$$



$$6 \quad H_{W3} = \frac{\xi}{\eta} (0.5 + f_k) \frac{G}{Bh \eta_{xm}} \frac{W_{PB}}{W}$$

Рис. 3. Относительная энергоемкость работы карьерного комбайна MTS 250 в режимах: а – «вывемка слоя породы»; б – «поворот (разворот)»; в – «смена карьерного поля»

или в соответствии с результатами полученными в работе [13] температурный перепад РЖ можно определить как:

$$\Delta t^0 = a \Delta P, \text{ град}, \quad (14)$$

здесь a – температурный ингредиент давления РЖ, град/Па.

По данным, приведенным в работе [4] температурный ингредиент давления для мощных насосов (моторов) составляет величину $a = 0,2 \cdot 10^{-6}$ град/Па.

Приравняв, правые части выражений (14) в (13) и решив полученное уравнение относительно перепада давления на РК силовой установки - ΔP получим:

$$\Delta P = \frac{\left[t_B^0 \right] - t_0^0}{a}, \text{ Па}. \quad (15)$$

Далее, подставив результат (15) в (12) с учетом, того что оптимальный перепад температуры в РК силовой установки карьерного комбайна должен составлять $\Delta t^0 = 50^0\text{C}$, получим зависимость КПД РК гидрообъемной силовой установки карьерного комбайна от температуры окружающей среды - t_0^0 :

$$\eta = \frac{1}{\left(1 + \frac{50^0}{70^0 - t_0^0} a \rho c_1 \right) \eta_r}. \quad (16)$$

Подставим выражение (16) в (8) и получим зависимость величины энергоемкости работы карьерного комбайна при выемке слоя породы от температуры окружающей среды в диапазоне $t_{\min}^0 \leq t_0^0 \leq t_{\max}^0$:

$$H_{w1}(t_0^0) = \xi \left(1 + \frac{50^0}{70^0 - t_0^0} a \rho c_1 \right) \eta_r \left\{ \begin{array}{l} \frac{\sigma}{\varphi_0} \left[\frac{1 + f\Psi}{\eta_{\text{шм}}} + (1 + f_k) \lambda(\varphi_0, \Psi) \frac{\theta}{\eta_{\text{жм}}} \right] + \\ + 4n_k \gamma k_{nk} \frac{\omega'}{\eta_{km}} L \end{array} \right\}, \text{ H/m}^2, \quad (17)$$

где η_r – гидравлический КПД элементов РК, определяется по формуле [16]:

$$\eta_r = 1 - \frac{\Delta Q_{cж}}{Q}, \quad (18)$$

где $\Delta Q_{cж}$ – расход на сжатие РЖ в элементах РК, $\text{m}^3/\text{с}$, который, по результатам полученным в [5, 6, 7] составляет величину:

$$\Delta Q_{cж} = \frac{Q_k}{E_{np}} \Delta P, \text{ м}^3/\text{с}, \quad (19)$$

здесь E_{np} – приведенный модуль упругости РЖ, Па.

В случае применения минерального масла с плотностью до 900 кг/m^3 , приведенный модуль упругости имеет величину [5] $E_{np}=1,7 \cdot 10^3 \text{ МПа}$.

Тогда, уравнение (18) с учетом (19) принимает вид:

$$\eta_r = 1 - \frac{\Delta P}{E_{np}}. \quad (20)$$

При минимальном давлении в РК ($0,7 \text{ МПа}$) $\eta_r=0,99$, а при максимальном (40 МПа) $\eta_r=0,97$.

Учитывая, что энергоемкость работы карьерного комбайна (8) имеет максимальное значение при $\sigma = \sigma_{\max}$ и $h = h_{\min}$ естественно, считать что зависимость

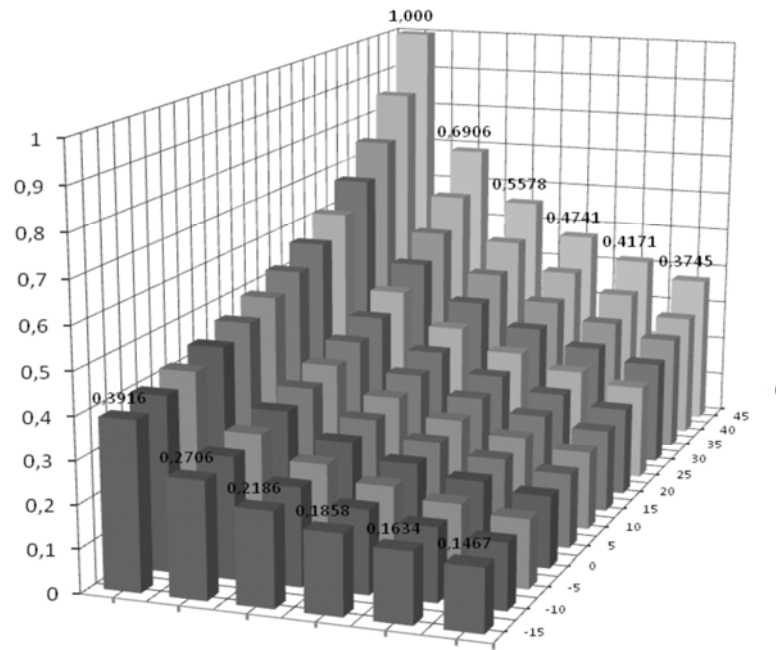


Рис. 4. Зависимость относительной энергоемкости работы карьерного комбайна MTS 250 от температуры окружающей среды в диапазоне $-15^0 \leq t_0^0 \leq +45^0$ и высоты слоя породы $0,1 \text{ м} \leq h \leq 0,65 \text{ м}$

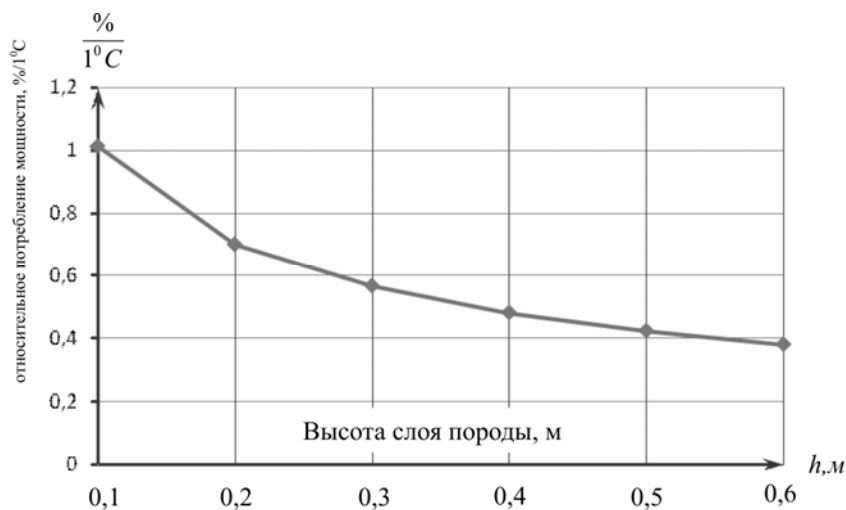


Рис. 5. Зависимость относительного потребления мощности затраченной ДВС силовой установки карьерного комбайна MTS 250 на выемку одного кубического метра в секунду крепких пород при повышении температуры окружающей среды на 1^0C от высоты слоя породы

(17) также будет иметь максимальное значение при $\sigma = \sigma_{\max}$ и $h = h_{\min}$ и при $t_0^0 = t_{0\max}^0$. Примем $H_{W1}(\sigma = \sigma_{\max}; h = h_{\min}; t_0^0 = t_{0\max}^0)$ за 100 %.

На рисунке 4 приведены значения относительной энергоемкости работы карьерного комбайна MTS 250 от температуры окружающей среды в диапазоне $-15^0 \leq t_0^0 \leq +45^0$ в режиме выемки слоя породы высотой $0,1 \text{ м} \leq h \leq 0,6 \text{ м}$ при: $\xi = 1,06$; $f_k=0,045$; $f = 0,55$; $\gamma=2,09 \cdot 10^4 \text{ Н/м}^3$; $k_{pk}=1,25$; $\omega'=0,2$; $L=12 \text{ м}$; $n_k=2$; $\eta_{wm}=\eta_{xm}=\eta_{km}=0,89$; $\theta = 56,3 \cdot 10^{-3}$; $\eta_r = 0,98$; $\rho c_1 = 1,554 \cdot 10^6 \text{ Дж/м}^3 \text{ град}$; $a = 0,2 \cdot 10^{-6} \text{ град/Па}$; для $\sigma = 50 \cdot 10^6 \text{ Па}$ ($\Psi = 0,3$).

Анализ зависимостей, приведенных на рис. 5, свидетельствует, что:

- в режиме выемки слоя породы высотой $0,1 \text{ м} \leq h \leq 0,6$ повышение температуры окружающей среды на 1^0C приводит к увеличению потребления мощности затраченной ДВС силовой установки карьерного комбайна на выемку одного кубического метра в секунду крепких пород, в среднем на 1%.

Таким образом, выражение (17) представляет собой интегрально-параметрическую модель технологического нагружения гидрообъемной силовой установки карьерного комбайна в течение технологического цикла отработки пласта, с заданными физико-механическими свойствами. Модель отличается учетом: - относительного уровня установленных мощностей двигателей основных механизмов комбайна и относительной длительности их активации в течение цикла в диапазоне температур эксплуатации $t_{\min}^0 \leq t_0^0 \leq t_{\max}^0$ карьерного комбайна.

СПИСОК ЛИТЕРАТУРЫ

1. Грабский А.А. Расчет мощности привода транспортной системы карьерного комбайна.
2. Супрун В.И. и др. Перспективная техника и технология для производства открытых горных работ. Учебное пособие. – М.: МГГУ, 1996, 222 с илл.
3. Сайдаминов И.А. Обоснование и выбор параметров и средств температурной адаптации гидрообъемных трансмиссий карьерного оборудования. Докт. дисс. – М.: МГГУ, 2003, 319с. с ил.
4. Ковалевский В.Ф. Теплообменные устройства и тепловые расчеты гидропривода горных машин, – М.: Недра, 1972, 224 с. с ил.
5. Коваль П.В. Гидравлика и гидропривод горных машин: Учебник для вузов по специальности «Горные машины и комплексы», – М.: Машиностроение, 1979.- 319с., ил.
6. Башта Т.М., Руднев С.С., Некрасов Б.Б. и др. Гидравлика, гидромашины и гидроприводы. 2-е изд. Перераб., – М.: Машиностроение, 1982, 423с. с ил.
7. Докукин А.В., Берман В.М., Рогов А.Я. и др. Исследования и оптимизация гидропередач горных машин. - М.: Наука, 1978, 196 с., с илл. **ГЛАБ**

Коротко об авторе

Грабский А.А. – кандидат технических наук, профессор кафедры ГМО, Московский государственный горный университет, Moscow State Mining University, Russia, ud@msmu.ru